

1      **Naučni rad**

2      **Uklanjanje amonijum jona zeolitima sintetizovanih alkalnim fuzionim postupkom od**

3                   **različitih vrsta letećeg pepela**

4

5                   Dijana Drljača<sup>1\*</sup>, Snežana Maletić<sup>2</sup>, Božo Dalmacija<sup>2</sup>

6                   <sup>1</sup>Univerzitet u Banjoj Luci, Tehnološki fakultet, Banja Luka, Republika Srpska, Bosna i Hercegovina

7                   <sup>2</sup>Univerzitet u Novom Sadu, Prirodno-matematički fakultet, Novi Sad, Republika Srbija

8

9

10

11

12

13

14

15

16

17

18

19

20     Autor za prepisku

21     \*Dijana Drljača, [dijana.drljaca@tf.unibl.org](mailto:dijana.drljaca@tf.unibl.org)

22     Univerzitet u Banjoj Luci, Tehnološki fakultet, S.Stepanovica 73, 78 000 Banja Luka

23

24 **IZVOD**

25 U ovom radu ispitivano je uklanjanje amonijum jona iz vodene sredine pomoću zeolita sintetizovanih  
26 od različitih uzoraka letećeg pepela alkalnim fuzionim postupkom uz naknadnu hidrotermalnu obradu.  
27 Serijom eksperimenata ispitano je ravnotežno vrijeme kontakta dobijenih zeolita i model rastvora,  
28 uticaj pH vrijednosti, kao i zavisnost adsorpcije od početne koncentracije amonijum jona. Ispitivanjem  
29 kinetike adsorpcionog procesa ustanovljeno je da proces adsorpcije na svim zeolitima prati model  
30 pseudo drugog reda uz visoke vrijednosti koeficijenta determinacije. Najveća količina adsorbovanog  
31 amonijum jona po gramu zeolita ~~nalazi~~ u pH području 8 i iznosi 6,0; 6,54; 4,26 mg NH<sub>4</sub><sup>+</sup>/g zeolita za ~~UF~~  
32 SF i GF ~~respektivno.~~ Ispitivanje adsorpcionih izotermi pokazuje bolje slaganje dobijenih rezultata sa  
33 Langmuir ovim modelom za uzorce zeolita sa ~~nizim~~ sadržajem kalcijuma (UF i SF), i Tempkin ovim  
34 modelom za uzorak zeolita sa ~~višim~~ sadržajem kalcijuma (GF). Regenerisani zeoliti pokazuju približan  
35 kapacitet adsorpcije (za ~~UFr~~ 10,3 mg/g; za ~~SF~~ 12,0 mg/g i za ~~GFr~~ 7,8 mg/g) kao i originalni zeoliti ( za  
36 ~~UF~~ 12,2 mg/g; za ~~SF~~ 11,9 mg/g i za ~~GF~~ 14,3 mg/g). Primjena originalnih i regenerisanih zeolita na  
37 realnom uzorku otpadne vode samo potvrđuje konstataciju da su sintetizovani zeoliti na bazi letećeg  
38 pepela ~~obecavajući~~ materijal za uklanjanje amonijum jona iz otpadnih voda.  
39 **Ključne riječi:** leteći pepeo, sinteza zeolita, amonijum jon, adsorpcija

40

41

42

43

44

45

46

47

48

49

50      **1. UVOD**

51      Elektrofilterski pepeo – leteći pepeo je najsitnija frakcija pepela koja se izdvaja iz struje dimnih gasova  
52      elektrostatičkom separacijom u elektrofilterima. Leteći pepeo zapravo je ostatak nakon sagorijevanja  
53      uglja, tako da se načelno sastoji od nesagorljivih supstanci koje se nalaze u uglju. Te supstance su:  
54      silikati ( $\text{SiO}_2$ ), oksidi kalcijuma i mangezijuma ( $\text{CaO}$  i  $\text{MgO}$ ), oksidi trovalentnih metala ( $\text{Al}_2\text{O}_3$ ,  $\text{Fe}_2\text{O}_3$ ),  
55      sulfidi ( $\text{FeS}_2$ ), karbonati ( $\text{CaCO}_3$ ,  $\text{MgCO}_3$ ), sulfati ( $\text{CaSO}_4$ ,  $\text{MgSO}_4$ ).  
56      Pepeo se kao sekundarna sirovina sve više upotrebljava kao jeftin materijal koji može poslužiti kao  
57      zamjena drugim materijalima. Na ovaj način se čuva okolina i smanjuje eksploracija materijala.  
58      Leteći pepeo, kao otpadni materijal, može se prevesti u zeolite kojima se uklanjanju različiti emergenti  
59      prisutni u otpadnim vodama, kao što su teški metali, boje iz otpadnih voda tekstilne industrije,  
60      amonijum jon, aromatski ugljovodonici [1-5]. Konverzijom letećeg pepela u zeolite ne rješava se samo  
61      problem odlaganja, već se otpadni materijal prevodi u jedan novi proizvod koji ima izuzetnu vrijednost.  
62      O upotrebi zeolita, sintetizovanih od letećeg pepela nastalog sagorijevanjem uglja, a koji je namijenjen  
63      uklanjanju amonijum jona, govori i izvjestan broj autora [6-10]. Da bi se izvršila sinteza zeolita od  
64      letećeg pepela, neophodno je sprovesti alkalni hidrotermalni tretman, ili izvršiti kalcinaciju, a potom  
65      hidrotermalni tretman (fuzioni metod sinteze) [3,9,11,12]. U zavisnosti od koncentracije dodanog  
66       $\text{NaOH}$ , temperature reakcije, kao i vremena izvođenja reakcije, prema [6] može se sintetizovati 13  
67      različitih tipova zeolita na bazi letećeg pepela. Veliku ulogu u sintezi zeolita ima početni hemijski sastav  
68      pepela, koji direktno zavisi od kvaliteta uglja koji se koristi u termoelektranama.

69      Cilj ovog rada je ispitati sposobnosti zeolita, dobijenih od različitih uzoraka letećeg pepela (TE Ugljevik,  
70      Gacko i Stanari) aktiviranih alkalnim fuzionim metodom, za efikasno uklanjanje amonijum jona iz model  
71      rastvora. Na dobijenim zeolitima ispitana je uticaj vremena kontakta, pH vrijednosti, kao i početne  
72      koncentracije amonijum jona. Serija ispitivanja izvedena je na realnom uzorku otpadne vode, kako sa  
73      originalno dobijenim zeolitima, tako i sa regenerisanim, kako bi se utvrdila mogućnost njihove  
74      upotrebe.

75      **2. MATERIJAL I METODE RADA**

76 **2.1. Leteći pepeo (LP)**

77 Za ovaj rad korištene su tri vrste letećeg pepela, nastale sagorijevanjem uglja iz tri termoelektrane iz  
78 Republike Srpske, BiH (termoelektrane Ugljevik, Gacko i Stanari). Kvalitet i svojstva dobijenog letećeg  
79 pepela određuje kvalitet uglja. Prema karakterizaciji ugljeva, ugalj iz Ugljevika pripada mrkim  
80 ugljevima, dok ugalj iz Gacka i Stanara pripada mlađim ugljevima – lignitima. Elektrofilterski pepeo TE  
81 Gacko specifičan je po velikom sadržaju CaO, pa je u pepelu najzastupljenija kristalna faza slobodni  
82 CaO. U kontaktu sa vodom daje izuzetno alkalnu reakciju, pH>12 [13].

83 **2.2. Sinteza zeolita**

84 Fuzioni tretman sinteze zeolita podrazumijeva je prema [14] homogenizaciju uzorka letećeg pepela  
85 sa perlama NaOH u omjeru 1:1,3 (30 g LP sa 39 g NaOH), a zatim alkalno topljenje (kalcinacija) na 600°C  
86 tokom 2,5 h. Ohlađeni čvrsti produkt podvrgnut je hidrotermalnoj obradi, koja podrazumijeva dodatak  
87 destilovane vode (1:5) i miješanje na magnetnoj mješalici na temperaturi od 70-80 °C tokom 1,5 h pri  
88 čemu dolazi do formiranja alumosilikatnog gela. Zagrijavanje je potom nastavljeno pod pritiskom  
89 tokom 5 h. Nakon hidrotermalne obrade uzorci su isprani sa velikim količinama destilovane vode do  
90 postizanja pH vrijednosti oko 9, a potom su sušeni u sušioniku na 105°C tokom 12 h. Navedenim  
91 postupkom dobijeni su uzorci Ugljevik fuzioni (UF), Stanari fuzioni (SF) i Gacko fuzioni (GF).

92 **2.3. Fizičko – hemijska karakterizacija letećeg pepela i zeolita**

93 Hemijska analiza uzorka letećeg pepela i dobijenih zeolita određena je rendgenskom fluorescentnom  
94 spektroskopijom (XRF) (Bruker, WDXRF „S8 TIGER“). Identifikacija površinskih funkcionalnih grupa  
95 sintetizovanih zeolita izvršena je upotrebom ATR - FTIR spektroskopije (Bruker, Tensor 27). IR spektar  
96 je sniman u talasnom području od 400-4000 cm<sup>-1</sup>. Tačka nultog nanelektrisanja (TNN) određena je  
97 primjenom metode titracije mase za porozne materijale. Metoda se sastoji u sljedećem: pripremljena  
98 su tri rastvora 0,01M NaNO<sub>3</sub> različite pH vrijednosti (pH = 3,6,12) podešenih sa 0,1M HNO<sub>3</sub> i 0,1M  
99 NaOH. Odmjerenoj čvrstoj masi u vlijemu dodan je rastvor 0,01M NaNO<sub>3</sub> u količini od 2,5 mL, tako da  
100 se dobiju različiti maseni omjeri (1%, 5%, 10%, 15%). Suspenzije pripremljene na ovaj način su  
101 zatvorene i mućkane na orbitalnom šejkeru (Laboratory Instruments WiseShake SHO-2D witeg,

102 Germani) tokom 24 h brzinom od 100 obr/min. Po isteku ovog vremenskog perioda, uzorci su ostavljeni  
103 da stoje oko 1 h, kako bi se adsorbent u potpunosti istaložio, a u dobijenim filtratima određena je pH  
104 vrednost.

#### 105 **2.4. Adsorpcioni eksperimenti na sintetizovanim zeolitima**

106 Osnovni adsorpcioni rastvor dobijen je rastvaranjem NH<sub>4</sub>Cl (prethodno sušenog na 105°C) u  
107 destilovanoj vodi čija koncentracija je iznosila 2 g NH<sub>4</sub>Cl/L. Svi adsorpcioni eksperimenti izvedeni su u  
108 laboratorijskim čašama od 100 mL poklopljenim sa satnim stakлом. U čaše su na analitičkoj vagi  
109 izmjereni sintetizovani zeoliti (sa tačnošću 0,001 mg) u količini od 2 g/L, a potom je dodan adsorpcioni  
110 rastvor NH<sub>4</sub>Cl u količini od 50 mL. Uzorci su kontinuirano miješani na magnetnim mješalicama na  
111 ambijentalnoj temperaturi. Po završetku adsorpcije uzorci su filtrirani kroz acetatno-celulozni  
112 membranski filter papir 0,45µm, a zatim je u filtratu određena koncentracija amonijum jona  
113 Nesllerovom metodom [15]. Svi adsorpcioni eksperimenti urađeni su u skladu s navedenim.

##### 114       **2.4.1. Kinetika**

115 Zavisnost adsorpcije od kontaktnog vremena izvedena je pri koncentraciji zeolita od 2 g/L,  
116 koncentraciji radnog rastvora od 100 mg NH<sub>4</sub>Cl/L i ambijentalnoj temperaturi, a ispitivano vrijeme  
117 adsorpcije iznosilo je 5 min, 10 min, 15 min, 20 min, 30 min, 1 h, 2 h, 4 h, 6 h, 24 h, 48 h i 72h. pH  
118 vrijednost radnog rastvora podešena je sa 0,1M NaOH neposredno pred izvođenje eksperimenta na  
119 pH~8 (zbog simulacije pH vrijednosti prirodnih voda).

##### 120       **2.4.2. Adsorpcija u ravnotežnim uslovima**

121 Ispitivanje zavisnosti kapaciteta adsorpcije od početne koncentracije NH<sub>4</sub><sup>+</sup> jona vršeno je u intervalu  
122 od 40 do 400 mg NH<sub>4</sub>Cl/L. pH vrijednost radnih rastvora podešavana je sa 0,1M NaOH neposredno pred  
123 izvođenje eksperimenta na pH~8, uz koncentraciju zeolita od 2 g/L, i dužinu trajanja adsorpcije  
124 dobijenu iz zavisnosti adsorpcije od kontaktnog vremena.

125

##### 126       **2.4.3. Uticaj pH**

127 Zavisnost adsorpcije amonijum jona na sintetizovanim zeolitima od pH vrijednosti ispitivana je u pH  
128 području od pH 3 do pH 11. Koncentracija adsorpcionog rastvora iznosila je 100 mg NH<sub>4</sub>Cl/L, a  
129 koncentracija zeolita 2 g/L. Podešavanje pH vrijednosti adsorpcionog rastvora sa 0,1M NaOH ili 0,1M  
130 HCl izvršeno je neposredno pred izvođenje eksperimenta. Ispitivana je zavisnost adsorpcije amonijum  
131 jona na sljedećim pH vrijednostima 3, 5, 7, 8, 9 i 11. Vrijeme trajanja adsorpcije preuzeto je iz zavisnosti  
132 adsorpcije od kontaktnog vremena.

### 133 **2.5. Regeneracija zeolita**

134 Za regeneraciju 1 g suvog zasićenog zeolita korišten je rastvor 1M NaCl u omjeru 1: 25. Miješanje je  
135 izvedeno na magnetnoj mješalici, a vrijeme trajanja regeneracije preuzeto je iz etičke zavisnosti.  
136 Nakon regeneracije uzorci su filtrirani, isprani sa 500 mL destilovane vode, i sušeni u sušioniku 24h. Na  
137 regenerisanim zeolitima ispitana je uticaj različite početne koncentracije rastvora NH<sub>4</sub>Cl na adsorpciju  
138 amonijum jona. Koncentracije radnih rastvora korištene za adsorpciju, kao i uslovi adsorpcije, identične  
139 su eksperimenata na originalnim zeolitima

### 140 **2.6. Primjena zeolita na realnom uzorku otpadne vode**

141 Za ~~ova~~ seriju eksperimenata korištena je otpadna voda iz gradskog kanalizacionog toka (Grad Banja  
142 Luka). Za analizu su korišteni kako originalno dobijeni zeoliti, tako i regenerisani. Sve analize urađene  
143 su pri koncentraciji zeolita od 2 g/L i 50 mL uzorka iste otpadne vode (zbog izbjegavanja mogućih  
144 interferencija) čija se pH vrijednost bez korekcije kretala između 7,97 – 8,17.

### 145 **2.7. Obrada podataka**

146 ~~Količina~~ adsorbovanog amonijum jona na sintetizovanim zeolitima, kao i procenat uklanjanja  
147 amonijum jona, izračunati su prema sljedećim relacijama:

$$148 \text{ Adsorbovani amonijum jon na zeolitu} = \frac{C_o - C_e}{m} \cdot V \quad (1)$$

$$149 \text{ Procenat uklanjanja amonijum jona (\%)} = \frac{C_o - C_e}{C_o} \cdot 100 \quad (2)$$

150 gdje je:  $C_o$  i  $C_e$  – ~~početna i konačna~~ koncentracija amonijum jona u rastvoru, ~~(mg NH<sub>4</sub><sup>+</sup>/L)~~,  
151 V – zapremina rastvora korištenog za adsorpciju ( $L$ ),

152 m – masa adsorbenta (g).

153 2.7.1. *Adsorpciona kinetika*

154 Lagergren-ov model pseudo-prvog reda, Ho & McKay-ov model pseudo-drugog reda opisuju se

155 respektivno sljedećim jednačinama:

$$156 \frac{dq_t}{dt} = k_1(q_e - q_t) \quad (3)$$

$$157 \frac{t}{q_t} = \frac{1}{k_2 q_e} + \frac{1}{q_e} t \quad (4)$$

158 Elovich-ov i Weber-Morris-ov model opisuju se respektivno sljedećim jednačinama:

$$159 q_t = \beta \ln(\alpha\beta) + \beta \ln t \quad (5)$$

$$160 q_t = k_i t^{0,5} \quad (6)$$

161 2.7.2. *Adsorpcione izoterme*

162 Za određivanje konstanti Langmuir-ove izoterme mogu se koristiti različiti linearizovani oblici ovih

163 jednačine, a u ovom radu primjenjen je sljedeći izraz:

$$164 \frac{C_e}{q_e} = \frac{1}{q_m} \cdot \frac{1}{C_e} + \frac{1}{K_L q_m} \quad (7)$$

165 Za određivanje konstanti Freundlich-ove izoterme koristi se linearizovani oblik jednačine:

$$166 \log q_e = \log K_f + \frac{1}{n} \log C_e \quad (8)$$

167 Za određivanje konstanti Tempkin-ove izoterme koristi se linearizovani oblik jednačine:

$$168 q_e = B \ln C_e + B \ln A \quad (9)$$

169 Za određivanje konstanti Dubinin-Radushkevich-ove izoterme koristi se linearizovani oblik jednačine:

$$170 \ln q_e = \ln(q_D) - (K_D \cdot \varepsilon^2) \quad (10)$$

$$171 \varepsilon = RT \ln \left( 1 + \frac{1}{C_e} \right) \quad (11)$$

172 Na osnovu poznавања константе  $K_D$  могуће је одредити слободну енергије,  $E$  (kJ/mol) према изразу:

$$173 E = \left[ \frac{1}{\sqrt{2 \cdot K_D}} \right] \quad (12)$$

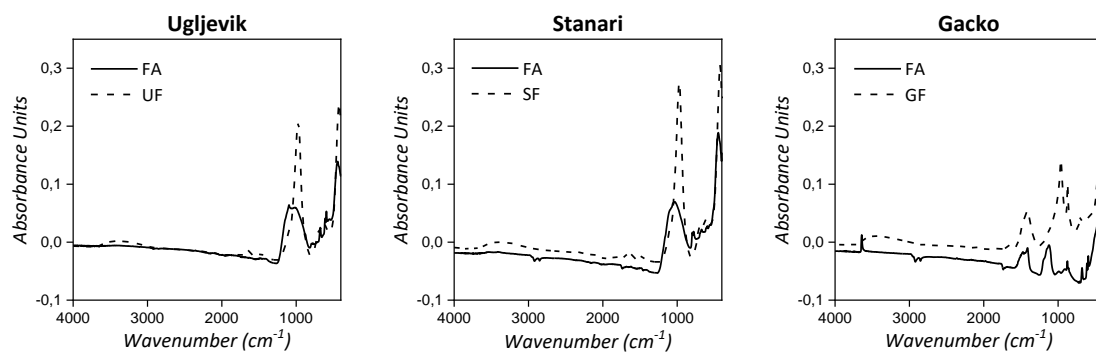
174 Na osnovu brojne vrijednosti parametra  $E$  može se predvidjeti priroda adsorpcionog procesa. Brojne  
175 vrijednost  $E$  između 8 i 16 kJ/mol, karakteristike su hemisorpcije, dok su vrijednosti  $E < 8$  kJ/mol  
176 karakteristične za fizičku adsorpciju.

177

178 **3. REZULTATI I DISKUSIJA**

### 179 **3.1. Karakterizacija uzorka LP i dobijenih zeolita**

180 Identifikacija površinskih funkcionalnih grupa izvršena je IR spektroskopijom, a FTIR spektar uzorka LP  
181 kao i dobijenih zeolita, prikazan je na slici 1.



183 **Figura 1.** FTIR spektar za LP Ugljevik (UF), Stanari (SF) i Gacko (GF) i sintetizovane zeolite.  
184 **Figure 1** FTIR spectrum for LP Ugljevik, Stanari and Gacko and for synthesized zeolites.

186 Sa slike 1 vidljivo je da uzorci LP Ugljevik i Stanari kao i njihovi sintetizovani zeoliti imaju dva  
187 dominantna pika koji se nalaze između 970 - 1040 i oko  $420\text{ cm}^{-1}$ . Manji pikovi koji se javljaju u području  
188 od  $3340 - 1480\text{ cm}^{-1}$  povezani su sa vibracijama OH grupe, ili adsorpcijom vode [16]. Kod LP Ugljevik uočava  
189 se pik na  $1097\text{ cm}^{-1}$  koji je dosta širok, dok je kod sintetizovanog zeolita taj pik pomjeren prema  $972\text{ cm}^{-1}$ ,  
190 uz sužavanje i izdužavanje pika, što ukazuje na sintezu silikata. Široki pik u području  $1034\text{ cm}^{-1}$ ,  
191 koji se javlja kod uzorka LP Stanari, izdužuje se kod sintetizovanog zeolita i pomijera na  $972\text{ cm}^{-1}$ , što  
192 takođe ukazuje na formiranje alumo-silikata. Prema [3], ovi karakteristični pikovi se mogu pripisati  
193 supstituciji  $\text{Si}^{4+}$  sa  $\text{Al}^{3+}$  u tetraedru, tokom formiranja alumo-silikata i njihove interakcije sa  $\text{Na}^+$  jonima  
194 sa kojima je vršena modifikacija uzorka LP. Prema [17] uvođenje  $\text{Na}^+$  jona rezultira djelimičnom  
195 promjenom lokacije i intenziteta pika, što se uočava i na predočenim slikama. Pikovi koji se pojavljuju

196 na  $420\text{ cm}^{-1}$  odnose se na istezanje Si–O–Al veza. Stoga, može se zaključiti da interakcija LP i NaOH  
197 dovodi do sineze zeolita uglavnom uz razaranje kvarca i mulita iz letećeg pepela [18].

198 Slika 1 pokazuje, na prvi pogled, nešto drugačije ponašanje uzorka LP Gacko od ostalih uzoraka. Kod  
199 uzorka LP Gacko javljaju se tri dominantna pika: oko  $1411\text{ cm}^{-1}$ , između  $960$  i  $1123\text{ cm}^{-1}$ , i oko  $437\text{ cm}^{-1}$ .  
200 Pik u području  $1411\text{ cm}^{-1}$ , vezan je za prisustvo karbonata (ili silikata) [3], dok je kod uzorka zeolita  
201 taj pik dosta manji, što ukazuje na smanjenje koncentracije karbonata (silikata). Sa slike je vidljivo da  
202 se pik, koji se javlja kod LP Gacko u području  $1123\text{ cm}^{-1}$  pomjeren je i istegnut kod sintetizovanog zeolita  
203 na  $960\text{ cm}^{-1}$ , dok pikovi koji se javljaju u području od  $500$  –  $900\text{ cm}^{-1}$  odnose se na simetrična i  
204 asimetrična istezanja Si-O-Si(Al).

205 Hemijska analiza uzorka letećeg pepela i dobijenih zeolita određenih na XRF prikazana je u tabeli 1.

**Tabela 1.** Hemijska analiza uzorka letećih pepela i dobijenih zeolita  
**Table 1.** Chemical composition of samples of FA and obtained zeolite

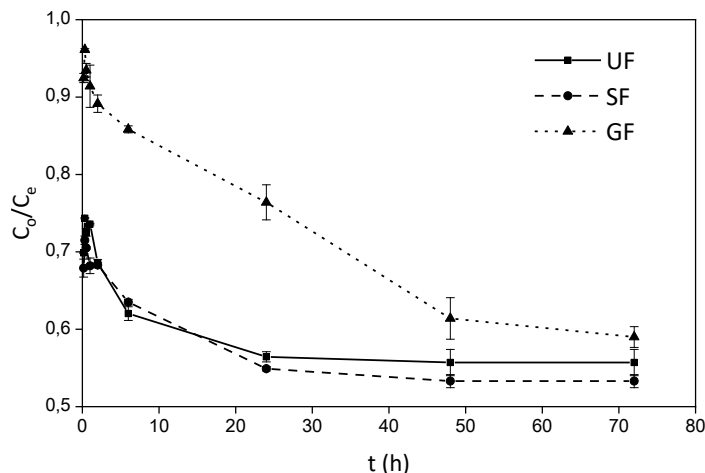
Komponenta (mas%)	LP Ugljevik	UF	LP Stanari	SF	LP Gacko	C
$\text{SiO}_2$	36,4	27,0	48,2	38,0	7,7	23,3
$\text{Al}_2\text{O}_3$	16,5	16,1	21,6	21,1	4,0	11,6
$\text{Fe}_2\text{O}_3$	15,5	17,3	8,6	8,7	5,2	9,2
$\text{CaO}$	10,8	9,6	8,4	8,0	65,9	45,4
$\text{MgO}$	2,7	1,8	2,8	2,2	0,8	1,8
$\text{Na}_2\text{O}$	1,8	6,6	-	11,9	-	0,3
$\text{SO}_3$	6,3	1,4	2,0	0,9	7,8	0,6
$\text{MnO}$	0,1	0,1	0,1	0,2	0,1	0,1
$\text{TiO}_2$	0,7	0,7	1,4	1,36	0,2	0,4

206  
207 Hemijskom analizom ustanovljeno je da su dominantne komponente kod LP Ugljevik  $\text{SiO}_2$  – 36,4%;  
208  $\text{Al}_2\text{O}_3$  – 16,5%;  $\text{Fe}_2\text{O}_3$  – 15,5% i  $\text{CaO}$  – 10,8%, čime se ovaj pepeo svrstava u LP klase F. Kod pepela klase  
209 F ukupna količina kalcijuma obično varira od 1% do 12%, većinom u obliku kalcijum hidroksida, kalcijum  
210 sulfata i staklastih komponenti u kombinaciji sa silicijum dioksidom i aluminijum oksidom. Dominantne  
211 komponente kod LP Stanari takođe su  $\text{SiO}_2$  – 48,2%;  $\text{Al}_2\text{O}_3$  – 21,6%;  $\text{Fe}_2\text{O}_3$  – 8,6% i  $\text{CaO}$  – 8,4%, što i ovaj  
212 uzorak svrstava u LP klase F. Kod LP Gacko dominantna komponenta je  $\text{CaO}$  – 65,9%, dok je sadržaj  
213  $\text{SiO}_2$  – 7,7%;  $\text{Al}_2\text{O}_3$  – 4,0%;  $\text{Fe}_2\text{O}_3$  – 5,2%, čime se ovaj pepeo svrstava u LP klase C, s obzirom da pepeo  
214 klase C prema standardu sadrži od 30% do 40% kalcijum oksida. Iz tabele 1. takođe je vidljivo da se  
215 obradom uzorka letećeg pepela povećava sadržaj  $\text{Na}^+$  jona kod svih ispitivanih zeolita.

216 Tačka nultog naelektrisanja pH<sub>nn</sub>, zeolita UF, SF i GF, nalazi se na pH vrijednostima manjim od 9,92;  
217 10,19; i 9,55 **respektivno.** Na nižim pH vrijednostima površine zeolita će biti pozitivno naelektrisane,  
218 odnosno na pH vrijednostima većim od navedenih površine zeolita biće negativno naelektrisane.

### 219 **3.2. Zavisnost adsorpcije od kontaktnog vremena**

220 Određivanje kontaktnog vremena adsorpcije je prvi korak u izvođenju svih adsorpcionih  
221 eksperimenata. Na slici 2. predstavljen je odnos **ravnotežnih i početnih koncentracija sintetizovanih**  
222 zeolita u funkciji kontaktnog vremena na T=26 °C.



223

224 **Figura 2.** Zavisnost uklanjanja amonijum jona od kontaktnog vremena  
225 ( $C_0 = 100 \text{ mg NH}_4\text{Cl/L}$ , Koncentracija zeolita = 2 g/L, pH = 8, T=26 °C).

226 **Figura 2.** Dependence of ammonium ion removal from the contact time  
227 ( $C_0 = 100 \text{ mg NH}_4\text{Cl/L}$ , Concentration of zeolite = 2 g/L, pH = 8, T=26 °C).

229 Sa slike 2 je vidljivo da zeoliti UF i SF postižu ravnotežna stanje nakon 24h, dok je za uzorak GF  
230 neophodno 48h. Mnogi autori navode da je adsorpcija amonijum jona na zeolitima sintetizovanim od  
231 LP termoelektrana brz proces. Adsorpcija se ~~u~~-najvećim dijelom odigrava u prvih 10 – 15 min [19], ili  
232 30 minuta [20], a kao ravnotežno vrijeme često je primjenjivano 1,25 h [14], 2h [21], ali i 24h [22].  
233 Takođe pojedini autori navode da je za visokokalcijumske zeolite potrebno nešto duže vrijeme za  
234 postizanje ravnotežnog stanja, tačnije oko 60 min [7], što je potvrđeno i u ovom radu (slika 2).  
235 Razlog za postizanje različih ravnotežnih vremena u različitim studijama može se tražiti u  
236 specifičnostima korištenih materijala, ali i u različitim eksperimentalnim uslovima [7].

#### 237 **3.2.1. Adsorpciona kinetika**

238 U cilju identifikacije koraka koji određuje brzinu ukupnog procesa adsorpcije amonijum jona na  
239 sintetizovanim zeolitima, kao i opisivanja mehanizma i reakcionih puteva prema kome se isti odvija,  
240 urađeno je modelovanje eksperimentalnih podataka primjenom najčešćih kinetičkih modela

241 Lagergren-ov model pseudo-prvog reda, Ho & McKay-ov model pseudo-drugog reda, Elovich-ev i  
242 Weber-Moris-ov model.

243 Grafički prikaz modela za sintetizovane zeolite predstavljen je u  datnom materijalu 1, a izračunate  
244 konstante modela predstavljene su u tabeli 2.

 **Tabela 2.** Parametri kinetičkih modela

( $C_0 = 100 \text{ mg NH}_4\text{Cl/L}$ , Koncentracija zeolita = 2 g/L, pH = 8, T=26°C)

**Table 2.** Parameters of kinetic models

( $C_0 = 100 \text{ mg NH}_4\text{Cl/L}$ , Concentration of zeolites = 2 g/L, pH = 8, T=26°C)

Model	Parametar	Vrijednosti parametara		
		UF	SF	GF
<i>Pseudo-prvi red</i>	$R^2$	0,9241	0,8941	0,8365
	$k_1 (\text{min}^{-1})$	0,0016	0,0023	0,0017
	$q_e \text{ eksp. (mg/g)}$	7,5550	8,0100	7,3445
	$q_e \text{ model. (mg/g)}$	2,6009	3,4971	8,7158
<i>Pseudo-drugi red</i>	$R^2$	0,9994	0,9955	0,9441
	$k_2 (\text{g mg}^{-1} \text{ min}^{-1})$	0,0065	0,0034	0,0004
	$h (\text{mg g}^{-1} \text{ min}^{-1})$	0,3641	0,2114	0,0221
	$q_e \text{ eksp. (mg/g)}$	7,5550	8,0100	7,3445
<i>Elovich</i>	$q_e \text{ model. (mg/g)}$	7,5820	7,9084	7,3990
	$R^2$	0,8514	0,8150	0,8418
	$\alpha (\text{g mg}^{-1} \text{ min}^{-2})$	258,77	4977,6	0,1408
	$\beta (\text{mg g}^{-1} \text{ min}^{-1})$	1,8701	2,3274	1,0747
<i>Weber-Moris</i>	$R_1^2$	0,7416	0,7193	0,7568
	$k_{i1} (\text{mg g}^{-1} \text{ min}^{-0.5})$	1,0990	1,1779	0,1505
	<i>Odsječak</i>	0,8344	0,9908	0,2958
	$R_2^2$	0,8252	0,9655	0,9710
<i>Weber-Moris</i>	$k_{i2} (\text{mg g}^{-1} \text{ min}^{-0.5})$	0,0615	0,0568	0,1112
	<i>Odsječak</i>	4,7517	4,9871	0,2246

245

246 Iz tabele 2 je vidljivo da su koeficijenti determinacije ( $R^2$ ) za sintetizovane zeolite primjenom Lagergrin-  
247 ovog modela pseudo-prvog reda dosta visoki i iznose 0,9241 za UF, 0,89411 za SF, i 0,8365 za GF.  
248 Međutim, vrijednosti  $q_e$  izračunate na osnovu modela (tabela 2) daju značajno manju procjenu  
249 adsorbovanog amonijum jona od eksperimentalno dobijenih vrijednosti za uzorke UF i SF, i višu  
250 vrijednost za uzorak GF te stoga Lagergrin-ov model pseudo prvog reda ne može biti primijenjen za  
251 modelovanje adsorpcije amonijum jona na sintetizovanim zeolitima.

252 Vrijednosti koeficijenta determinacije za Ho & McKay-ov model su takođe visoke i iznose 0,9994 za UF,  
253 0,9955 za SF, i 0,9441 za GF. Pored visokih vrijednosti koeficijenata determinacije izračunate vrijednosti  
254 ravnotežnih količina adsorbovanog amonijum jona pokazuju izuzetno dobro slaganje sa  
255 eksperimentalno dobijenim vrijednostima. Greška procjene ravnotežne koncentracije dobijene iz  
256 primjenjenog modela iznosi 0,4% za UF, 1,3% za SF, i 0,7% za GF, tako da se sa sigurnošću može reći  
257 da Ho & McKay-ov model pseudo-drugog reda veoma dobro prati kinetiku ispitivanih zeolita, što je  
258 evidentno i kod drugih autora [14,22,23].

259 Visoke vrijednosti koeficijenta determinacije, za Elovich-ev model koje iznose 0,8514 (UF); 0,8150 (SF);  
260 0,8418 (GF) ukazuju na dosta jaku linearnu vezu između posmatranih promjenljivih. Međutim, početna  
261 brzina adsorpcije  $\alpha$  značajno je viša kod svih sintetizovanih zeolita i nije u skladu sa početnom brzinom  
262 kod modela pseudo drugog reda.

263 Rezultati modelovanja Weber-Morisovog modela pokazuju da se adsorpcija amonijum jona odvijala u  
264 dvije faze: površinska adsorpcija i difuzija unutar čestica zeolita. Pozitivne vrijednosti odsječaka ukazuju  
265 na to da granični sloj ima uticaja na brzinu adsorpcije, međutim, korelacioni koeficijenti modela su niži  
266 od modela pseudo drugog reda, pa možemo reći da ni ovaj model ne opisuje najbolje kinetiku ispitivane  
267 adsorpcije. Takođe, linearizovani oblik krive ne prolazi kroz koordinatni početak, što ukazuje na to da  
268 je unutarčestična difuzija uključena u proces adsorpcije, ali nije ograničavajući korak u njenom  
269 izvođenju, a što je u skladu i sa radovima drugih autora [20].

### 270 3.3. Adsorpcija u ravnotežnim uslovima

271 Za upotpunjavanja optimalnih uslova uklanjanja amonijum jona na sintetizovanim zeolitima  
272 neophodno je dati prikaz adsorpcije sa različitim početnim koncentracijama amonijum jona.

273 Primijenjene su početne koncentracije NH<sub>4</sub>Cl u intervalu od 40 – 400 mg/L; vrijeme adsorpcije iznosilo  
274 je 24h za UF i SF, dok je za GF vrijeme adsorpcije iznosilo 48h.

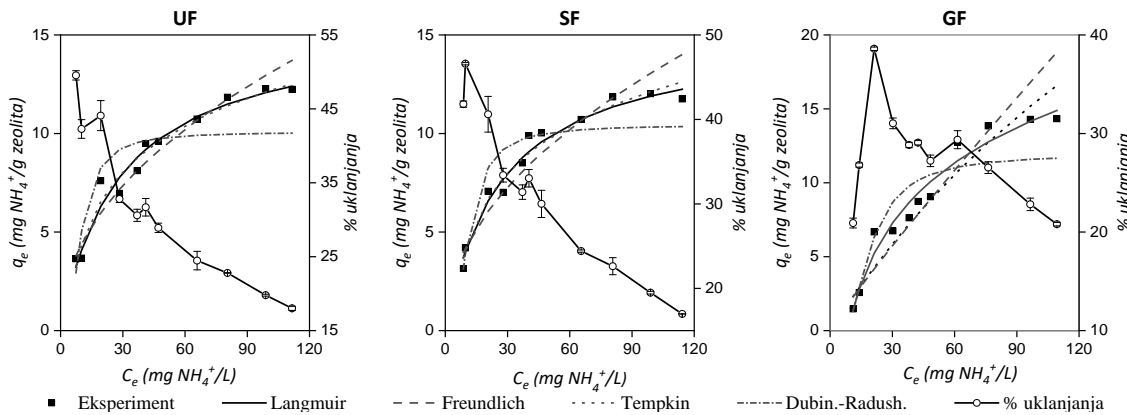
275 Određivanje kapaciteta adsorpcije amonijum jona na sintetizovanim zeolitima izvršeno je  
276 provođenjem adsorpcionog eksperimenta uz naknadnu obradu dobijenih podataka primjenom

277 najčešće korištenog Freundlich-ovog i Langmuir-ovog adsorpcionog modela, kao i Tempkin-ovog i

278 Dubinin-Radushkevich-ovog adsorpcionog modela.

279 Na slici 3. predstavljeni su ispitivani adsorpcioni modeli u nelinearizovanom obliku, sa procentom

280 uklanjanja amonijum jona.



281

282 **Slika 3. Nelinearizovani modeli adsorpcionih izotermi sa % uklanjanja amonijum jona**

283 **Figura 3. Nonlinearized models of adsorption isotherms with % removal of ammonium ions**

284

285 Sa povećanjem početne koncentracije amonijum jona raste kapacitet adsorpcije, koji dostiže

286 maksimalnu vrijednost za UF 12,2 mg  $\text{NH}_4^+$ /g zeolita pri najvišoj početnoj koncentraciji, SF 12,1 mg

287  $\text{NH}_4^+$ /g zeolita i za GF 14,3 mg  $\text{NH}_4^+$ /g zeolita (slika 3.). Međutim, povećanjem početne koncentracije

288 amonijum jona smanjuje se efikasnost uklanjanja sa 49,5% na 18,0% za UF; sa 41,8% na 17,0% za SF.

289 Za uzorak GF efikasnost uklanjanja se bitnije ne mijenja i iznosi 20,8 % pri najvišoj početnoj

290 koncentraciji, dok je na najnižoj 20,9 %, uz izrazit skok u porastu efikasnosti na 38,6% pri početnoj

291 koncentraciji od 21,3 mg  $\text{NH}_4^+$ /L. Povećavanje kapaciteta adsorpcije pri višim početnim

292 koncentracijama, uz istovremeno smanjenje efikasnosti može se objasniti povećanjem gradijenta

293 koncentracije, koji je viši što je početna koncentracija veća, a broj mesta za adsorpciju manji [21,24].

294 Sa slike 3 vidljivo je da Langmuir-ov i Tempkin-ov model daju skoro identične krive za uzorce UF i SF i

295 da ovi modeli najbolje opisuju adsorpciju amonijum jona na ispitivanim zeolitima, a najlošije ih opisuje

296 model Dubinin-Radushkevich-a. Uzorak GF najbolje opisuje Tempikon-ov model, a najlošije je opisuje

297 Langmuir-ov model.

298 U tabeli 3. predstavljene su vrijednosti koeficijenta determinacije za ispitivane adsorpcione izoterme.

**Tabela 3.** Adsorpcionie konstante ispitivanih izotermi

(Koncentracija zeolita = 2 g/L, pH~8, T= 24°C, Vrijeme adsorpcije 24 h i 48 h)

**Table 3. Adsorption constants of the isotherm studied**

(Concentration of zeolites = 2 g/L, pH~8, T= 24°C, Adsorption time 24 h and 48 h)

Model	Parametar	Vrijednosti parametara		
		UF	SF	GF
Langmuir	$R^2$	0,9825	0,9780	0,1828
	$q_m$ (mg/g)	15,5403	15,1537	57,2200
	$K_L$ (L/mg)	0,0352	0,0369	0,0039
Freundlich	$R^2$	0,9340	0,9113	0,8822
	$K_f$ (mg/g)(L/mg) <sup>1/n</sup>	1,4678	1,3765	0,2516
	$n$ (L/mg)	2,1106	2,0435	1,0875
Tempkin	$1/n$	0,4738	0,4904	0,9201
	$R^2$	0,9624	0,9573	0,9548
	$B$ (J/mol)	3,4122	3,4669	5,8791
Dubinin- Radushkevich	$A$ (L/g)	0,3516	0,3341	0,1149
	$R^2$	0,7992	0,8853	0,9176
	$q_D$ (mg/g)	10,0755	10,4068	11,9063
	$K_D$ (mol <sup>2</sup> /kJ <sup>2</sup> )	0,0126	0,0166	0,0483
	$E$ (kJ/mol)	6,2996	5,5398	3,2223

299

300 Dobijene vrijednosti koeficijenta determinacije kod Langmuir-ovog modela za uzorak UF 0,9825; za SF  
 301 0,9780 pokazuju dosta dobro slaganje sa ispitivanim modelom. Uzorak GF ima vrijednost koeficijenta  
 302 determinacije dosta nisku 0,1828. Vrijednosti  $q_m$  dobijene Langmuir-ovim modelom pokazuju više  
 303 vrijednosti od eksperimentalno dobijenih i iznose za uzorak UF 15,540 mg/g (najviši eksperimentalno  
 304 dobijeni kapacitet izmjene 12,258 mg/g), za uzorak SF dobijena vrijednost  $q_m$  iznosi 15,1537 mg/g  
 305 (najviši eksperimentalno dobijeni kapacitet izmjene 12,229 mg/g), dok za uzorak GF dobijena  
 306 vrijednost  $q_m$  iznosi 57,2200 mg/g (najviši eksperimentalno dobijeni kapacitet izmjene 14,590 mg/g).  
 307 Niske vrijednosti Langmuir-ove konstante  $K_L$  za UF 0,0352 (L/mg), za SF 0,0369 (L/mg), i za GF 0,0039  
 308 (L/mg) ukazuju na visok afinitet između amonijum jona i ispitivanih zeolita. Bezdimenzionalni parametar  
 309  $R_L$  nalazi se u opsegu od 0-1 za sve ispitivane zeolite, i ukazuje na favorizovanu (povoljnu) adsorpciju.  
 310 Koeficijent determinacije kod Freundlich-ovog iznosi za UF 0,9340, i za SF 0,9113 što ukazuje na to da  
 311 Langmuir-ov model mnogo bolje odgovara eksperimentalno dobijenim podacima. Nasuprot tome,  
 312 uzorak GF ima viši koeficijent determinacije Freundlich-ovog nego Langmuir-ovog modela koji iznosi  
 313 0,8822 i ukazuje na to da Freundlich-ov model bolje odgovara eksperimentalno dobijenim podacima  
 314 od Langmuir-ovog modela. Dobijene vrijednosti  $n$  su veće od 1 za sve ispitivane uzorke zolita, što

315 ukazuje da se radi o favorizovanoj adsorpciji, kao što je dobijeno i Langmuir-ovom izotermom, a  
316 vrijednosti  $1/n$  su između 0 i 1, što govori da kriva adsorpcije ima konveksan oblik za sve uzorke zeolita.  
317 U mnogobrojnim radovima mogu se uočiti različiti mehanizmi adsorpcije. U radu [22] ustanovljeno je  
318 da je adsorpcija amonijum jona na zeolitima sintetizovanim od LP monoslojna (bolji koeficijent  
319 determinacije pokazuje Langmuir-ov model), dok je u radu [14] ustanovljeno da je adsorpcija  
320 amonijum jona višeslojna (bolji koeficijent determinacije pokazuje Freundlich-ov model).  
321 Koeficijent determinacije kod Tempkin-ovog modela pokazuje više vrijednosti u odnosu na Freundlich-  
322 ov model, ali ipak niže vrijednosti u odnosu na Langmuir-ov model za uzorke UF i SF i iznose 0,9624;  
323 0,9573, respektivno. Za uzorak GF koeficijent determinacije je viši od ostalih modela i iznosi 0,9548.  
324 Pozitivne vrijednosti energije adsorpcije ( $B$ ) kod svih ispitivanih uzoraka ukazuju da se radi o  
325 endoternnom procesu, tj. da se sa porastom temperature kapacitet adsorpcije povećava što je  
326 evidentno i u radovima drugih autora [14,21].  
327 Koeficijenti determinacije kod Dubinin-Radushkevich-ovog modela za uzorke UF ( $R^2=0,7992$ ); SF  
328 ( $R^2=0,8853$ ) su niže od svih ostalih ispitivanih modela, što ukazuje na to da ispitivani model ne opisuje  
329 dobro adsorpciju na pomenutim zeolitima. Vrijednosti slobodnih energija kod svih ispitivanih uzoraka  
330 su ispod 8 kJ/mol, što ukazuje da se radi o fizičkoj adsorpciji.

### 331 **3.4. Zavisnost adsorpcije od pH vrijednosti**

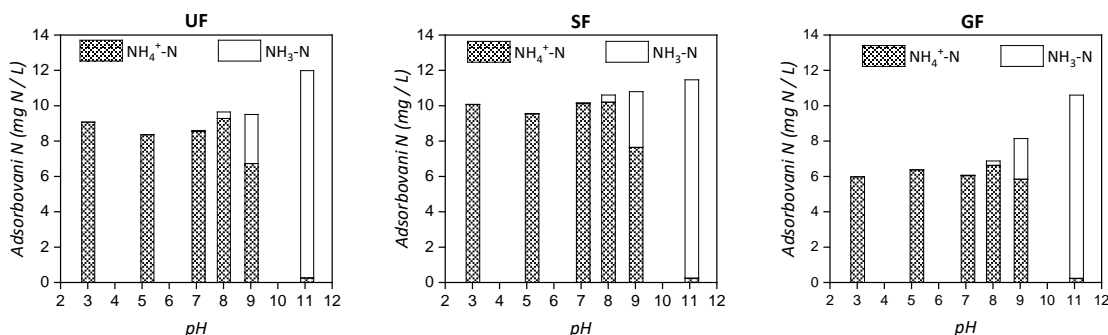
332 pH vrijednost ima značajan uticaj na uklanjanje amonijum jona kod zeolita sintetizovanih od letećeg  
333 pepela, jer može da utiče ne samo na efikasnost uklanjanja amonijum jona, već i na sam zeolit [25].  
334 Međutim, u vodenim rastvorima amonijačni azot se pojavljuje u dva oblika, u zavisnosti od pH  
335 vrijednosti i temperature: kao nejonizovani amonijak ( $\text{NH}_3$ ), koji u gasovitom stanju izlazi iz sistema i  
336 jonizovani amonijum jon ( $\text{NH}_4^+$ ), koji učestvuje u procesu adsorpcije, što se predstavlja jednačinom:  
337 
$$\text{NH}_4^+ + \text{OH}^- \leftrightarrow \text{NH}_3 + \text{H}_2\text{O} \quad (13)$$
  
338 Jednačine (14) i (15) koje su predstavili [26,27] omogućavaju izračunavanje udjela nejonizovanog  
339 amonijaka ( $f$ ) u ukupno prisutnom amonijačnom azotu, i prikazuje se preko jonizirajuće konstante  $pK_a$   
340 koja je važeća u temperaturnom opsegu od 0 – 50 °C [23].

341  $pK_a = 0,0901821 + \left( \frac{2729,92}{T(K)} \right)$  (14)

342  $f = \frac{1}{[10^{(pK_a - pH)} + 1]}$  (15)

343 Na slici 4 predstavljene su zavisnosti ~~jonizovanog i nejonizovanog oblika~~ adsorbovanog azota od pH

344 vrijednosti i temperature za sintetizovane zeolite.



345

**Slika 4.** Zavisnost ~~jonizovanog i nejonizovanog oblika~~ adsorbovanog azota od pH vrijednosti kod sintetizovanih zeolita ( $C_0 = 100 \text{ mg NH}_4\text{Cl/L}$ , Koncentracija zeolita = ,  $T=19,7 \text{ }^\circ\text{C}$ )

**Figura 4.** The dependence of ionized and non-ionized adsorbed nitrogen on the pH value of synthetic zeolites ( $C_0 = 100 \text{ mg NH}_4\text{Cl/L}$ , Concentration of zeolites = 2 g/,  $T=19,7 \text{ }^\circ\text{C}$ )

351 Sa slike 4 je vidljivo da je količina ~~nejonizovanog~~ azota ( $\text{NH}_3$ ) u adsorbovanoj količini, pri pH vrijednosti  
352 11,08 i  $T = 19,7 \text{ }^\circ\text{C}$  izuzetno visoka za sve ispitivane zeolite. Za UF iznosi 11,7 od ukupno adsorbovanog  
353 12,0 mg  $\text{NH}_3\text{-N/L}$ , za SF iznosi 11,2 mg  $\text{NH}_3\text{-N/L}$  od ukupno adsorbovanog 11,5 mg  $\text{NH}_3\text{-N/L}$  dok za GF  
354 iznosi 10,4 mg  $\text{NH}_3\text{-N/L}$  od ukupno adsorbovanog 10,6 mg  $\text{NH}_3\text{-N/L}$ . Procenat nejonizovanog azota pri  
355  $\text{pH} = 11,08 \text{ i } T = 19,6 \text{ }^\circ\text{C}$  iznosi 97,9%, i zavisi isključivo od ispitivane pH vrijednosti i temperature. Slični  
356 rezultati dobijeni su i u radu [28], nije oko 1% nejonizovanog azota na  $35 \text{ }^\circ\text{C}$ .

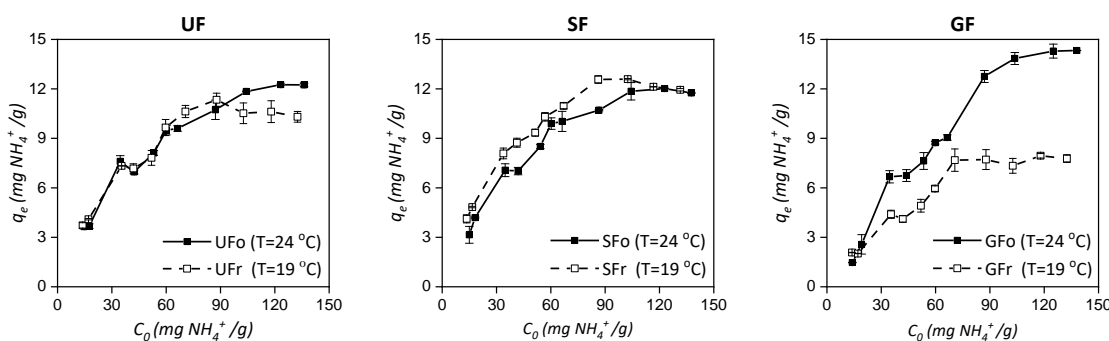
357 Potvrda ovakvih konstatacija dobijena je i eksperimentalno desorpcijom amonijum jona na pH 11.  
358 Uzorci zeolita nakon adsorpcije na pH 11, isprani su sa destilovanom vodom, a potom sušeni u  
359 sušioniku na  $105 \text{ }^\circ\text{C}$ . Desorpcija je izvedena sa 50 mL rastvora 0,1M NaCl na  $T = 25 \text{ }^\circ\text{C}$ , dok je vrijeme  
360 desorpcije identično vremenu adsorpcije. Nakon određivanja koncentracije amonijum jona dobijene  
361 su vrijednosti koje su prikazane u Dodatnom materijalu 2. Prema Dodatnom materijalu 2 vidljivo je da  
362 je desorbovana količina amonijum jona na ispitivanim zeolitima dobijena eksperimentalno i unski  
363 približno istih vrijednosti.

364 S obzirom da je  experiment za sve sintetizovane zeolite izveden na istim pH vrijednostima i  
365 temperaturama, procentualno učešće nejonizovanog i ionizovanog azota je identično za sve zeolite, i  
366 predstavljeno u **Dodatnom materijalu 3**. Prema **Dodatnom materijalu 3** za očekivati je da će se najveći  
367 kapacitet adsorbcije amonijum jona nalaziti u području pH 3, pri kojem je koncentracija amonijum jona  
368 najveća. Međutim slika 4 pokazuje najveći kapacitet adsorpcije amonijum jona u pH području 8 za sve  
369 ispitivane zeolite, što je u skladu i sa mnogim autorima [14,28]. 

370 Takođe slika 4 pokazuje nešto niži kapacitet adsorpcije na pH 3 i 5 u odnosu na pH 8 kod svih ispitivanih  
371 zeolita. Ovakva kontradiktornost može se objasniti činjenicom, da se smanjivanjem pH vrijednosti  
372 povećava koncentracija  $H^+$  jona, čime se povećava afinitet adsorbovanja  $H^+$  jona u odnosu na  $NH_4^+$  jon  
373 [28,29]. Najbolju adsorpciju amonijum jona pokazuje zeolit sintetizovan od letećeg pepela koji potiče  
374 iz TE Stanari, dok najlošiji kapacitet adsorpcije pokazuje zeolit sintetizovan od pepela koji potiče iz TE  
375 Gacko. Jedinjenja kalcijuma koja su prisutna u velikim količinama u uzorku letećeg pepela (LP Gacko)  
376 mogu biti inhibitori sinteze zeolita [7,30], pošto dolazi do formiranje kalcijum silikata.

377 **3.5. Regeneracija zeolita**

378 Nakon regeneracije sintetizovanih zeolita sa 1M NaCl, filtracije i sušenja, na regenerisanim zeolitima  
379 eksperimentalno je određena zavisnost kapaciteta adsorpcije od početne koncentracije. Na slici 5 dat  
380 je uporedni prikaz dobijenih zavisnosti kapaciteta adsorpcije od početne koncentracije amonijum jona  
381 za originalne i regenerisane zeolite.



383 **Slika 5.** Uporedni prikaz kapaciteta adsorpcije amonijum jona za originalne i regenerisane zeolite.  
384 **Figura 5.** Comparative display of ammonium ion adsorption capacity for genuine and regenerated  
385 zeolites   
386

387 Sa slike 5 vidljivo je da regenerisani uzorci pokazuju sličnu zavisnost kapaciteta adsorpcije od početne  
 388 koncentracije kao i originalni uzorci. Regenerisani uzorak UFr pokazuje skoro identične kapacitete  
 389 adsorpcije kao i originalni uzorak, osim u stanju ravnoteže kad je ustanovljen nešto niži kapacitet  
 390 adsorpcije (10,3 mg/g) u odnosu na originalni uzorak (12,2 mg/g). Regenerisani uzorak SFr, nasuprot  
 391 tome, pokazuje neznatno više vrijednosti adsorpcija u odnosu na originalni uzorak, dok je ravnotežna  
 392 vrijednost kapaciteta regenerisanog uzorka (12,0 mg/g) skoro identična originalnom uzorku (11,9  
 393 mg/g). Regenerisani uzorak GFr ima znatno slabiji kapacet adsorpcije za sve ispitivane početne  
 394 koncentracije, i u ravnotežnom stanju kapacet adsorpcije iznosi 7,8 mg/g, dok kod originalnog uzorka  
 395 kapacet adsorpcije iznosi 14,3 mg/g. U radu [31] izvještavaju da do smanjenja kapaciteta adsorpcije  
 396 regenerisanog uzorka dolazi ukoliko se regeneracija izvodi na povišenoj temperaturi, jer može doći do  
 397 začepljavanja pora zeolita, a time i do smanjenja specifične površine, što je potvrđeno i u radu [22] u  
 398 kojem je regeneracija izvedena na 70, 120 i 170 °C. Međutim, regeneracija zeolita u ovom radu  
 399 izvedena je na 20 °C tako da pomenute konstatacije ne mogu objasniti smanjenje kapaciteta adsorpcije  
 400 kod zeolita GFr. Izrazito smanjenje adsorpcije kod uzorka GFr moglo bi se objasniti većom  
 401 temperturnom zavisnošću adsorpcionog procesa, jer je eksperiment sa regenerisanim uzorkom  
 402 izveden na nižoj temperaturi (19 °C) u odnosu na eksperiment sa originalnim zeolitom (24 °C).

403 Obradom eksperimentalnih podataka regenerisanih uzoraka korištenjem Freundlich-ovog, Langmuir-  
 404 ovog, Tempkin-ovog i Dubinin-Radushkevich-ovog modela dobijene su vrijednosti parametara koje su  
 405 predstavljene u tabeli 4.

**Tabela 4. Adsorpacione konstante izotermi regenerisanih uzoraka**  
 (Koncentracija zeolita = 2 g/L, pH~8, Vrijeme adsorpcije 24 h i 48 h)  
**Table 4. Adsorption constants of isotherms of regenerated samples**  
 (Zeolite concentration = 2 g / L, pH ~ 8, adsorption time 24 h and 48 h)

Model	Parametar	Vrijednosti parametara		
		UFr	SFr	GFr
Langmuir	$R^2$	0,9785	0,9914	0,9097
	$q_m$ (mg/g)	12,2704	13,8916	11,8231
	$K_L$ (L/mg)	0,0686	0,0801	0,0198
	$R_L$	0,09-0,51	0,09-0,48	0,28-0,79
Freundlich	$R^2$	0,8997	0,9316	0,9209
	$K_f$ (mg/g)(L/mg) $^{1/n}$	1,9400	2,5047	0,5183
	$n$ (L/mg)	2,5341	2,6998	1,6474
	$1/n$	0,3947	0,3710	0,6071

Tempkin	$R^2$	0,8976	0,9553	0,9098
	B (J/mol)	2,7155	2,9123	2,6885
	A (L/g)	0,6303	0,8512	0,1883
Dubinin- Radushkevich	$R^2$	0,8151	0,8696	0,7721
	$q_D$ (mg/g)	9,5685	10,9021	6,5729
	$K_D$ (mol <sup>2</sup> /kJ <sup>2</sup> )	0,0088	0,0063	0,0250
	E (kJ/mol)	7,5668	8,9930	4,4724

406

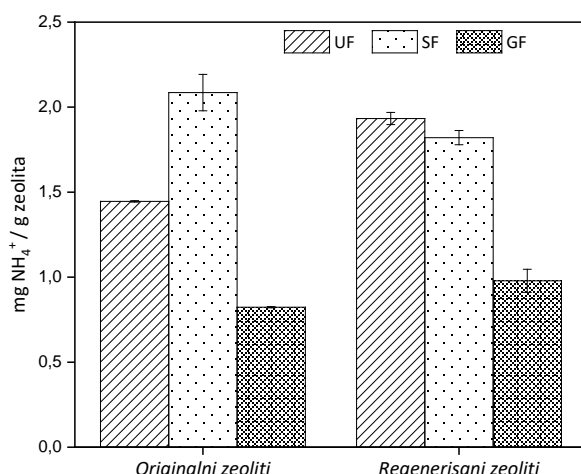
407 Dobijene vrijednosti koeficijenta determinacije kod Langmiur ovog modela za regenerisani uzorak UFr  
 408 0,9785; za SFr 0,9914 i za GFr 0,9097 pokazuju dosta dobro slaganje sa ispitivanim modelom.  
 409 Vrijednosti  $q_m$  dobijene Langmuir ovim modelom pokazuju više vrijednosti od eksperimentalno  
 410 dobijenih i iznose za uzorak UF 12,27 mg/g (najviši eksperimentalno dobijeni kapacitet izmjene 11,62  
 411 mg/g), za uzorak SFr dobijena vrijednost  $q_m$  iznosi 13,89 mg/g (najviši eksperimentalno dobijeni  
 412 kapacitet izmjene 12,57 mg/g), dok za uzorak GFr dobijena vrijednost  $q_m$  iznosi 11,82 mg/g (najviši  
 413 eksperimentalno dobijeni kapacitet izmjene 8,16 mg/g).  
 414 Niske vrijednosti Langmuir ove konstante  $K_L$  za UFr 0,0686 (L/mg), za SFr 0,0801 (L/mg), i za GFr  
 415 0,01987 (L/mg) ukazuju na visok afinitet između amonijum jona i ispitivanih zeolita. Bezdimenzionalni  
 416 parametar  $R_L$  nalazi se u opsegu od 0 – 1 za sve ispitivane zeolite, i ukazuje na favorizovanu (povoljnu)  
 417 adsorpciju. Poređenjem parametara Langmuirovog modela originalnih (Tabela 3) i regenerisanih  
 418 zeolita (Tabela 4) može se ustanoviti da dobijene vrijednosti  $q_m$  kod regenerisanih uzoraka za UFr i SFr  
 419 pokazuju bolje slaganje sa eksperimentalnim vrijednostima u odnosu na originalne uzorke UF i SF.  
 420 Koeficijent determinacije kod Freundlich ovog iznosi za UFr 0,8997, i za SFr 0,9316 što ukazuje na to  
 421 da Langmuir ov model mnogo bolje odgovara eksperimentalno dobijenim podacima, što je evidentno  
 422 i kod originalnih uzoraka. Uzorak GFr ima viši koeficijent determinacije Freundlich ovog nego Langmuir-  
 423 ovog modela koji iznosi 0,9209 i ukazuje na to da Freundlich ov model bolje odgovara eksperimentalno  
 424 dobijenim podacima od Langmuir ovog modela, što je vidljivo i kod originalnih uzoraka. Dobijene  
 425 vrijednosti  $n$  su veće od 1 za sve ispitivane uzorke zolita, što ukazuje da se radi o favorizovanoj  
 426 adsorpciji, kao što je dobijeno i Langmuir ovom izotermom, a vrijednosti  $1/n$  su između 0 i 1, što govori  
 427 da kriva adsorpcije ima konveksan oblik za sve uzorke zolita.

428 Koeficijent determinacije Tempkin ovog modela pokazuje slične vrijednosti kao Freundlichov model,  
429 za regenerisane uzorke UF i SF, ali ipak niže u odnosu na Langmuirov model. Za uzorak GF koeficijent  
430 determinacije je isti kao kod Langmuirovog modela i iznosi 0,9098, što ukazuje na to da regenerisani  
431 uzorak bolje opisuje Freundlichov model. Pozitivne vrijednosti energije adsorpcije ( $B$ ) kod svih  
432 ispitivanih regenerisanih uzoraka, isto kao i kod originalnih, ukazuju da se radi o endotermnom  
433 procesu.

434 Dubinin-Radushkevichov model kod regenerisanih uzoraka ima najniže koeficijente determinacije, kao  
435 što je ustanovljeno i za originalne zeolite (Tabela 3.), pa stoga možemo konstatovati da ovaj model ne  
436 opisuje dobro adsorpciju na ispitivanim zeolitima.

### 437 **3.6. Primjena na realnom uzorku**

438 Kao realni uzorak korištena je otpadna voda iz gradskog kanalizacionog toka, čija se polazna  
439 koncentracija amonijum jona kretala u opsegu od 6,395 – 6,909 mg NH<sub>4</sub><sup>+</sup>/L. Rezultati ispitivanja  
440 kapaciteta adsorpcije na realnom uzorku otpadne vode sa originalnim i regenerisanim uzorcima  
441 predstavljeni su na slici 6.



442

443 **Slika 6. Primjena originalnih i regenerisanih zeolita na realnom uzorku otpadne vode**  
444  $(T \sim 20^\circ C; pH \sim 8; Koncentracija zeolita 2 g/L)$

445

446 **Figura 6. Application of original and regenerated zeolites on a real wastewater sample**  
 $(T \sim 20^\circ C; pH \sim 8; Zeolite concentration 2 g / L)$

447

448 Na slici 6 vidljivo je neujednačeno ponašanje regenerisanih i originalnih uzoraka. Regenerisani uzorak

449 SF pokazuje nešto manji kapacitet adsorpcije (1,884 mg NH<sub>4</sub><sup>+</sup>/g) u odnosu na originalni uzorak SFo

(2,086 mg NH<sub>4</sub><sup>+</sup>/g). Upravo takvo ponašanje konstatovano je i u radovima drugih autora [14] jer dolazi

451 do kompeticije za adsorpciona mjesta sa katjonima Na<sup>+</sup>, K<sup>+</sup>, Ca<sup>2+</sup>, Mg<sup>2+</sup> prisutnih u otpadnoj vode.

452 Nasuprot tome, regenerisani uzorci zeolita UFr (1,933 mg NH<sub>4</sub><sup>+</sup>/g) i GFr (0,978 mg NH<sub>4</sub><sup>+</sup>/g) pokazuju

453 veći kapacitet adsorpcije, u odnosu na originalne zelite UFO (1,446 mg NH<sub>4</sub><sup>+</sup>/g) i GFo (0,823 mg NH<sub>4</sub><sup>+</sup>/g).

454 Razlog za povećanje kapaciteta regenerisanih uzoraka leži u procesu regeneracije. Regeneracijom

455 uzoraka sa 1M NaCl, pored istiskivanja NH<sub>4</sub><sup>+</sup> jona, može doći i do uvođenja nove količine Na<sup>+</sup> u strukturu

456 zeolita. Potvrda za ovakvu konstataciju može se naći u radovima mnogih autora koji izvode aktivaciju

457 LP sa rastvorom NaCl [24,28] ili se nakon aktivacije sa NaOH uvodi naknadni obrada sa NaCl kako bi se

458 homogenizovao uzorak i povećala efikasnost adsorpcije [32,33].

459 Navedena ponašanja originalnih i regenerisanih zeolita potvrđena su i FTIR analizom, a rezultati su

460 prikazani u Dodatnom materijalu 4. U Dodatnom materijalu 4 vidljivo je dodatno istezanje pikova u

461 području oko 970 cm<sup>-1</sup> za regenerisane zeolite UFr i GFr, što ide u prilog konstataciji da regeneracijom

462 zeolita može doći do naknadnog uvođenja Na<sup>+</sup> jona u strukturu zeolita, a time i do većeg kapaciteta

463 adsorpcije. Kod regenerisanog zeolita SFr istezanje pika u ovom području nije evidentno.

464 Sve ovo ukazuje na činjenicu da regenerisani zeoliti, sintetizovani od letećeg pepela termoelektrana,

465 imaju približno isti kapacitet izmjene kao i originalni zeoliti, što predstavlja veliku prednost u njihovoj

466 realnoj primjeni.

#### 467 4. ZAKLJUČAK

468 U ovom radu, leteći pepeli različitog hemijskog sastava prevedeni su u zelite međom alkalne fuzije,

469 kako bi se na njima ispitala mogućnost uklanjanja amonijum jona. Kinetičke studije pokazuju da pepeo

470 sa nižim sadržajem kalcijuma pokazuje bolje efekte uklanjanja kako u model uzorku tako i u realnom

471 uzorku otpadnih voda. Takođe, provedena ispitivanja u ovom radu potvrđuju činjenicu da su sintetički

472 zeoliti na bazi letećeg pepela obećavajući materijal za uklanjanje amonijum jona iz otpadnih voda.

#### 473 5. LITERATURA

- 474 1. Sukpreabprom H, Arquero OA, Naksata W, Soosamiti P, Janhom S. Isotherm, Kinetic and  
475 Thermodynamic Studies on the Adsorption of Cd (II) and Zn (II) ions from Aqueous Solutions onto  
476 Bottom Ash. *Int J Environ Sci De.* 2014; 5(2): 165–170.

- 477        2. Franus M, Wdowin M, Bandura L, Franus W. Removal of environmental pollutions from  
478        fly ash: A review. *Fresen Environ Bull.* 2015; 24(3a): 854 – 866.  
479
- 480        3. Bandura L, Panek R, Rotko M, Franus W. Synthetic zeolites from fly ash for an effective trapping of BTX  
481        in gas stream. *Micropor Mesopor Mat.* 2016; 223: 1–9.  
482        4. Attari M, Bukharia SS, Kazemianb H, Rohania S. A low-cost adsorbent from coal fly ash for mercury  
483        removal from industrial wastewater. *J Environ Chem Eng.* 2017; 5: 391–399.  
484
- 485        5. Zhang Y, Dong J, Guo F, Shao Z, and Wu J. Zeolite Synthesized from Coal Fly Ash Produced by a  
486        Gasification Process for Ni<sup>2+</sup> Removal from Water. *Minerals.* 2018; 8(3): 1–14.  
487        6. Querol X, Moreno N, Umana JC, Alastuey A, Hernandez E, Lopez-Soler A, Plana F. Synthesis of zeolites  
488        from coal fly ash: an overview. *International Journal of Coal Geology* 2002; 50(1-4): 413– 423.  
489
- 490        7. Zhang M, Zhang H, Xu D, Han L, Niu D, Zhang L, Wu W, Tian B. Ammonium removal from aqueous  
491        solution by zeolites synthesized from low-calcium and high-calcium fly ashes. *Desalination* 2011b; 277:  
492        46–53.  
493        8. Franus W. Characterization of X-type Zeolite Prepared from Coal Fly Ash. *Pol J Environ Stud.* 2012; 21  
494        (2): 337–343.  
495
- 496        9. Cheng H, Song H, Xue F, Chen X, Cheng F. Influence of Modified Coal Fly Ash on Its Cation Exchange  
497        Capacities. *Pol J Environ Stud.* 2014; 23(4): 1307–1312.  
498        10. Shaila K, Nisha D, Pralhad P, Deepa P. Zeolite Synthesis Strategies from Coal Fly Ash: A Comprehensive  
499        Review of Literature – Review Paper. *Int Res J Environment Sci.* 2015; 4(3): 93–99.  
500
- 501        11. Hung PA, Hai NX. Mineral composition and properties of modified flyash. *J Agr Biol Sci.* 2014; 9(2): 51–  
502        54.  
503        12. Belviso C. State-of-the-artapplications of fly ash from coal and biomass: A focus on zeolite synthesis  
504        processes and issues. *Prog Energ Combust Sci.* 2018; 65: 109–135.  
505
- 506        13. Drljača D, Vukić Lj, Šinik A, Maletić S. Izluživanje teških metala iz uzorka elektrofilterskog pepela  
507        termoelektrana. IV međunarodni kongres „Inženjerstvo, ekologija i materijali u procesnoj industriji“.  
508        Jahorina, Bosna i Hercegovina, 2015, 569-578. (in Serbian)  
509        14. Zhang M, Zhang H, Xu D, Han L, Niu D, Tian B, Zhang J, Zhang L, Wu W. Removal of ammonium from  
510        aqueous solutions using zeolite synthesized from fly ash by a fusion method. *Desalination* 2011a; 271:  
511        111–121.  
512
- 513        15. ASTM D1426-08 –Test Methoda A: Title od the Standard. 2008.  
514        16. Kunecki P, Panek R, Koteja A, Franus W. Influence of the reaction time on the crystal structure of Na-P1  
515        zeolite obtained from coal fly ash microspheres. *Micropor Mesopor Mat.* 2018; 266: 102–108.  
516
- 517        17. Mozgawa W, Król M, Barczyk K. FT-IR studies of zeolites from different structural groups. *Chemik* 2011;  
518        65(7): 667–674.  
519        18. Jha B, Padmakumar GP, Singh DN, Iyer K. Synthesis of zeolites by flyash-alkali interaction. In: *Proceedings*  
520        of Indian Geotechnical Conference. Cochi, India, 2011, 1089–1092.  
521
- 522        19. Karadag D, Koc Y, Turan M, Armagan B. Removal of ammonium ion from aqueous solution using Turkish  
523        clinoptilolite. *J Hazard Mater.* 2006; 136(3): 604–609.  
524        20. Mazloomi F, Jalali M. Ammonium removal from aqueous solutions by natural Iranian zeolite in the  
525        presence of organic acids, cations and anions. *J Environ Chem Eng.* 2016; 4(1): 240–249.  
526
- 527        21. Tomic Ž, Kukučka M, Kukučka Stojanović N, Kukučka A, Jokić A. CR-100 synthetic zeolite adsorption  
528        characteristics toward Northern Banat groundwater ammonia. *Journal of Environmental Science and  
529        Health, Part A.* 2016; 51(12): 1068-1074.

- 530        22. Yu H, Tian W, Huang R, Wang Y. Preparation of a coal cinder-zeolite ball and its adsorption performance  
531              for ammonia nitrogen. *5th International Conference on Information Engineering for Mechanics and*  
532              *Materials*. Huhhot, Inner Mongolia, 2015, 1530–1535.
- 533
- 534        23. Karadag D, Koc Y, Turan M, Ozturk M. A comparative study of linear and non-linear regression analysis  
535              for ammonium exchange by clinoptilolite zeolite. *J Hazard Mater.* 2007; 144(1-2): 432–437.
- 536        24. Niu Y, Zhao Y, Xi B, Hu X, Xia X, Wang L, LD, Lu J. Removal of ammonium from aqueous solutions using  
537              synthetic zeolite obtained from coal fly-ash. *Fresen Environ Bull.* 2012; 21(7): 1732–1739.
- 538
- 539        25. Alias MY, Lee KK, Zaharah I, Zaiton AM, Nik AN. Kinetic and equilibrium studies of the removal of  
540              ammonium ions from aqueous solution by rice husk ash-synthesized zeolite Y and powdered and  
541              granulated forms of mordenite. *J Hazard Mater.* 2010; 174(1-3): 380–385.
- 542        26. Emerson K, Russo RC, Lund LE, Thurston RV. Aqueous ammonia equilibrium calculations: effects of pH  
543              and temperature. *Journal of the Fisheries Research, Board of Canada.* 1975; 32(12): 2379–2383.
- 544
- 545        27. Erikson RJ. An evaluation of mathematical models for the effects of pH and temperature on ammonia  
546              toxicity to aquatic organisms. *Wat Res.* 1985; 19(8): 1047–1058.
- 547        28. Lin L, Lei Z, Wang L, Liu X, Zhang Y, Wan C, Lee DJ, Tay JH. Adsorption mechanisms of high-levels of  
548              ammonium onto natural and NaCl-modified zeolites. *Sep Purif Technol.* 2013; 103: 15–20.
- 549
- 550        29. Zhang B, Wu D, Wang Ch, He Sh, Zhang Z, Kong H. Simultaneous removal of ammonium and phosphate  
551              by zeolite synthesized from coal fly ash as influenced by acid treatment. *J Environ Sci.* 2007;19(5): 540–  
552              545.
- 553        30. Juan R, Hernández S, Andrés JM, Ruiz C. Synthesis granular zeolitic materials with high cation exchange  
554              capacity from agglomerated coal fly ash. *Fuel.* 2007; 86: 1811–1821.
- 555
- 556        31. Yujie B, Aili Z, Jiti Z. Study on treatment of methylene blue wastewater by fly ash adsorption-fenton and  
557              thermal regeneration. *Environmental Sci.* 2012; 33(7): 2419-3426.
- 558        32. Hui KS, Chao CYH, Kot SC. Removal of mixed heavy metal ions in wastewater by zeolite 4A and residual  
559              products from recycled coal fly ash. *J Hazard Mater B.* 2005; 127(1-3): 89–101.
- 560        33. Franus W, Wdowin M, Franus M. Synthesis and characterization of zeolites prepared from industrial fly  
561              ash. *Environ Monit Assess.* 2014; 186(9): 5721–5729.
- 562

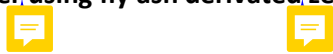
563

564  
565

## Summary

566  
567     **Ammonium ion removal from water using fly ash derived zeolites by alkaline fusion process**

568  
569  
570



D.Drljača<sup>1</sup>, S.Maletić<sup>2</sup>, B.Dalmacija<sup>2</sup>

571     <sup>1</sup>Univerzity of Banja Luka, Faculty of Tecnology, S.Stepanovica 73, 78000 Banja Luka, Bosnia and Herzegovina

572     <sup>2</sup>University of Novi Sad, Faculty of Sciences, Trg Dositeja Obradovica 3, 21000 Novi Sad, Republic of Serbia

573  
574     (**Scientific paper**)

575     In this study, fly ash, different chemical composition, was converted into zeolite by a fusion method, as confirmed

576     by the FTIR spectrum. At LP, a peak of  $1097\text{ cm}^{-1}$  is observed, which is quite wide, while in the synthesized zeolite,  
577     this peak is displaced toward  $972\text{ cm}^{-1}$  with narrowing and elongation of the peak. These characteristic peaks can  
578

579     be attributed to the substitution of  $\text{Si}^{4+}$  with  $\text{Al}^{3+}$  in the tetrahedron, during the formation of aluminosilicate and  
580     their interaction with  $\text{Na}^+$  ions. By chemical analysis it was established that the dominant components in LP

581     Ugljevik  $\text{SiO}_2$  - 26,43%; in LP Stanari are also  $\text{SiO}_2$  - 48,18% and in LP Gacko is  $\text{CaO}$  - 65,89%. Zeolites of UF and

582     SF achieve equilibrium state after 24 hours, while for the GF sample it is necessary 48h period. By examining the  
583     kinetics of the adsorption process it was found that the adsorption process on all zeolites follows a pseudo-

584     second order model with a high value of the coefficient of determination for UF ( $R^2 = 0,9994$ ), SF ( $R^2 = 0,9955$ )  
585     and GF ( $R^2 = 0,9441$ ). The largest amount of adsorbed ammonium ions is in the pH range 8 and amounts to 6,0;

586     6,54; 4,26 mg  $\text{NH}_4^+$ /g zeolite for UF, SF and GF respectively. Examination of adsorption isotherms shows the  
587     better agreement of the obtained results with the Langmuir model for samples of zeolite (UF and SF) with lower

588     content of calcium, and the Tempkin model for the higher calcium-containing zeolite (GF) model. Regenerated  
589     zeolites show a similar adsorption capacity (for UFr 10,3 mg/g; for SF 12,0 mg/g; for GFr 7,8 mg/g) as original

590     zeolites (for UF 12,2 mg/g; for SF 11,9 mg/g; for GF 14,3 mg/g). Examination of the adsorption isotherms of  
591     regenerated samples also shows the best agreement with the Langmuir model for UFr and SFr samples, while

592     the GFr sample best describes the Freundlich model. The obtained percentage of the removal of ammonium ions  
593     with the original (for UF 45%; for SF 60%; for GF 26%) and regenerated zeolites (for UFr 61%; for SFr 55%; and  
594     for GFr 31%) on a real sample of wastewater.

595     **Keywords:** fly ash, synthesized zeolite, ammonium ion, adsorption